

## 日本岩崎数字示波器电源原理与维修

崔国霖<sup>1</sup> 于杰<sup>2</sup> 范瑞青<sup>3</sup>

(1. 中国海洋大学信息学院 青岛 266100)

(2. 青岛市中心医院临工部 青岛 266042)

(3. 中国海洋大学测试中心 青岛 266003)

**摘要** 本文根据实物画出日本岩崎 DS - 6121A 数字示波器开关电源的原理图, 对工作原理进行分析, 并给出故障维修实例。

**关键词** 岩崎 数字示波器 开关电源 故障维修

一台日本岩崎(IIWATTSU)DS - 6121A 数字示波器, 开关电源部分发生故障。该示波器带宽 100MHz, 带数字存储功能, 售价较高, 无任何图纸资料。为将其修复, 根据实物画出其原理图。对稳压原理和工作过程进行分析, 并给出故障维修实例。

### 1 电路图及原理分析

#### 1.1 电源输入及整流滤波电路

该机交流输入范围为 90 ~ 250V, 50 ~ 400Hz。输入的交流电, 经 EMI 电路、桥式整流、C<sub>8</sub>、C<sub>9</sub> 滤波后, 得到 310V 左右直流电压。二极管 D<sub>1</sub> 电阻 R<sub>1</sub> 及光耦组成的电路的作用是给触发扫描电路送交流电源同步信号。晶闸管 V<sub>s</sub>、电阻 R<sub>2</sub>、R<sub>3</sub>、R<sub>4</sub> 及二极管 D<sub>2</sub> 等组成冲击电流抑制回路, 防止开机时出现大的冲击电流。

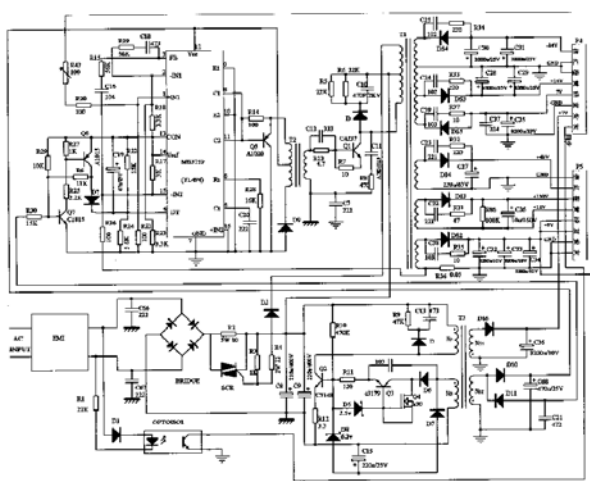


图 1 开关电源电路图

#### 1.2 辅助电源分析

辅助电源如图 1 右下部分, 该电源采用带恒流驱动的振铃扼流变换式(RCC)开关电源, 它是一种自激反馈式开关电源。开机后电流经启动电阻 R<sub>10</sub> 流入开关三极管 Q<sub>2</sub> 的基极, 使 Q<sub>2</sub> 导通, N<sub>B</sub> 绕组中产生感应电压, 此感应电压以正反馈形式经 D<sub>6</sub>、Q<sub>3</sub>

加到 Q<sub>2</sub> 基极, 使 Q<sub>2</sub> 进一步导通。当 Q<sub>2</sub> 基极电流增大到一定程度时, Q<sub>2</sub> 基极电位升高, 稳压管 D<sub>8</sub> 反向击穿导通, Q<sub>2</sub> 的基极电流减小, N<sub>B</sub> 绕组的感应电动势反向, 流向 Q<sub>2</sub> 基极的电流进一步减小, 使 Q<sub>2</sub> 迅速截止。稳压管 D<sub>8</sub> 的正极接在电容 C<sub>15</sub> 的负端, C<sub>15</sub> 两端的电压是在 Q<sub>2</sub> 截止期间由 N<sub>B</sub> 绕组的反电动势经 D<sub>7</sub> 向其充电的负电压。向 D<sub>7</sub> 充电的时间与变压器次级输出功率的时间相等, 因此输出电压 U<sub>o</sub> 与 C<sub>15</sub> 两端电压 U<sub>c</sub> 成正比。当 U<sub>c</sub> 由于某种原因而升高时, D<sub>8</sub> 提前击穿导通, 从而使 Q<sub>2</sub> 的基极电流减小而提前截止, Q<sub>2</sub> 的导通时间缩短, 输出电压 U<sub>o</sub> 降低; 反之, 输出电压 U<sub>o</sub> 升高, 从而稳定输出电压。Q<sub>3</sub>、Q<sub>4</sub>、D<sub>5</sub>、D<sub>6</sub>、R<sub>11</sub> 组成恒流驱动电路, 既能避免 U<sub>i</sub> 升高时流过 R<sub>11</sub> 的电流太大, 又能防止 U<sub>i</sub> 减小时, 发生间歇振荡。使得输入 AC 电压在很大范围内, 电源仍能正常工作。电阻 R<sub>9</sub>、二极管 D、电容 C<sub>13</sub> 组成恢复电路。吸收消耗 Q<sub>2</sub> 截止期间 T<sub>2</sub> 初级绕组中的磁能量, 防止磁饱和。

辅助电源次级 N<sub>S2</sub> 回路的脉冲电压经 D<sub>10</sub> 整流 C<sub>68</sub> 滤波后得到 +12V 电压给主电源脉宽调制芯片 MB3759 等供电。经 D<sub>11</sub> 整流 C<sub>21</sub> 滤波后得到 -30V 电压去控制 MB3759 的死区电平(4 脚)。N<sub>S1</sub> 回路经 D<sub>16</sub> 整流 C<sub>36</sub> 滤波后得到 +7V 电压送到插座 P5。

#### 1.3 主电源电路分析

主电源采用脉宽调制式开关电源, 其中, 逆变器由大功率开关晶体管 Q<sub>1</sub> 和变压器 T<sub>1</sub> 等组成。Q<sub>1</sub> 的工作是由脉宽调制型开关电源集成控制器 MB3759 通过变压器 T<sub>2</sub> 次级驱动的。D<sub>x</sub>、R<sub>5</sub>、R<sub>6</sub>、C<sub>10</sub> 组成恢复电路。R<sub>8</sub> 与 C<sub>11</sub> 串联回路并联在 Q<sub>1</sub> 的 CE 结, 组成吸收电路, 其作用是降低浪涌电压。

MB3759(同 TL494) 是脉宽调制型开关电源集成控制器, C<sub>20</sub>、R<sub>28</sub> 为定时元件, 它们决定内部锯齿

波的振荡频率，本例约为 30KHz。电阻  $R_{43}$ 、 $R_{20}$ 、 $R_{21}$  组成取样电路，4 脚是死区电平控制端，正常工作时，辅助电源中输出的负压经  $R_{30}$  加到  $Q_7$  的基极，使  $Q_7$  及  $Q_6$  不导通。当辅助电源有故障时，负压降低， $Q_7$  及  $Q_6$  导通。则 4 脚死区控制电平上升，使芯片的输出脉宽降低。 $R_{36}$  为电流取样电阻，起输出过流保护作用。

## 1.4 线性稳压电路简介

由开关电源输出的各路直流电压，又送至经线性稳压电路，进一步经线性稳压后送至示波器各电路。这部分只给出简图，其电压值标注（见图2）。

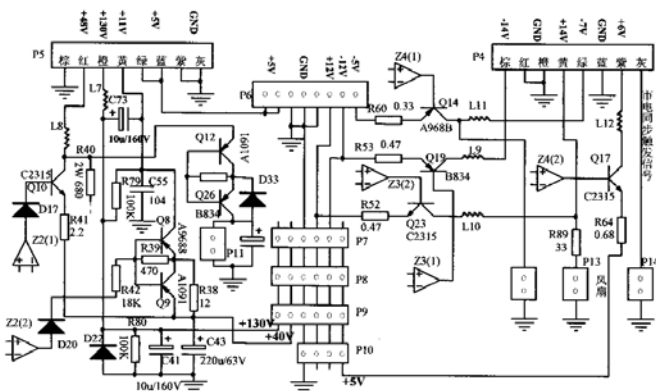


图 2 线性稳压电路

## 2 故障实例

打开电源开关后,主电源和辅助电源均无输出。保险丝完好,测  $C_8$ 、 $C_9$  两端有直流 310V 电压,说明 EMI 电路、整流滤波电路没有问题,而主电源及辅助电源未起振。检查主电源的开关管  $Q_1$  及外围元件、主电源次级各整流滤波元件均正常。根据前述原理知,辅助电源起振正常工作后,给 MB3759 供电,由  $Q_5$  经  $T_3$  推动  $Q_1$  工作在开关状态。故以下重点检查辅助电源部分。

断电，用万用表检测  $Q_2$ 、 $Q_3$  及各二极管。当测至稳压管  $D_8$  时，发现在线正反向电阻很小，焊下后测量，证明确已击穿。更换一稳压值 6.2V 稳压管后，辅助电源工作正常。注意，根据前述原理，稳压管  $D_8$  的稳压值影响到辅助电源的输出值。实际维修时，拆下的管子体积很小，型号无法

辨认。先换小稳压值的管子试验，测量辅助电源的输出值，最后确定下用稳压值 6~2V 的稳压管。另外，在该机 PCB 板子上， $D_8$  和  $D_5$  位置所印符号为普通二极管符号“- +”。若更换上普通二极管，当  $T_1$  的  $N_B$  绕组感应电压升高使  $Q_2$  的电位升高时， $D_8$  无法正常击穿，将使  $Q_2$  一直导通， $N_P$ 、 $N_B$  绕组感应电压一直升高，最终将导致  $Q_2$  等击穿烧坏。请引起重视。

辅助电源工作正常后,主电源也起振工作。因为插头连线较短,为便于测试,此时只在主电源的+5V输出端接的假负载。将电源输出端各插头连接后,开机,发现各输出电压下降,主电源带负载能力不行。检查、代换Q<sub>1</sub>、Q<sub>5</sub>管、次级各整流滤波元件后,故障依旧。后用示波器测量Q<sub>5</sub>管集电极波形,发现所测波形不正常(见图3)。

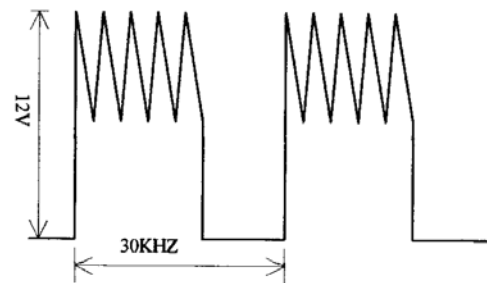


图3 示波器所测波形

脉冲波形的顶上被叠加锯齿波。这样波形的信号推动 Q<sub>1</sub> 管，使得 Q<sub>1</sub> 不能正常工作在截止和饱和状态（开关状态），而在一定时间内工作在线性区，故带负载能力不强。而造成这一现象的原因，很可能是给 MB3759 供电电源的去耦滤波不良，进一步检查发现辅助电源输出的 +12V 滤波电容 C<sub>68</sub> 变质、漏电严重。更换后，全部故障排除，示波器可正常工作。

参考文献

- 1 王英剑, 常敏慧, 何希才等. 新型开关电源实用技术, 北京: 电子工业出版社, 1999
  - 2 邓折贵, 林承基. 图文传真机实用维修技术, 成都: 四川科学技术出版社, 1996

勘误

《现代仪器》杂志 2007 年第 2 期仪器管理栏目《实验室建设优化预算及高效管理》论文中的作者林锦光应为林景光，系独立撰写人，王承波系联系人，非第二作者。特此勘误。